

九州産業大学 正員 石堂 機

○ 関 直三郎

野間口 明義

1. はじめに 管や擁壁などの建設材と土の間に相対的な変位が生じたときの摩擦抵抗は、土および建設材の種類と状態、せん断速度などによって異なり、土自体のせん断特性とはかなり異なる性質を示すことは Polyonydy^①, Coyle^②らの報告でも明らかである。筆者らはいくつかの建設材と乾燥砂の間の関係について、主として $\beta = \tan \delta / \tan \phi$ の値を検討してみたが、ここでは材種、含水比、密度、せん断速度の影響を相馬砂について考察したものである。

2. 実験概要 小型一面せん断試験のせん断面を改良して、下部に $74 \times 73 \times 2 \text{ mm}^3$ の材片をおき、上部に中 $60 \times 10 \text{ mm}^3$ の砂をつめら。せん断中の接触面積は一定に保たれ、下部移動とした。実験の条件は表-1のようにとり、これらを組合せて行なった。

3. 考 察

3.1 含水比の影響 各条件に対する結果の一例は図-1～3に示す。Terzaghi や Tchekbotaroff^③ らは鋼、ガラス等の物質に対して、水は反潤滑作用を示すことを実験により強調しているが、この実験結果では鋼板およびアクリル板においてその傾向が明瞭に表われている。図-2は鋼板と砂の試験結果であるが、

$W=10, 20\%$ の間には大きな差はない。これは水量の影響よりも水膜の性質によるものであるとする Terzaghi の考え方を裏づけている。アクリル板についても同様である。

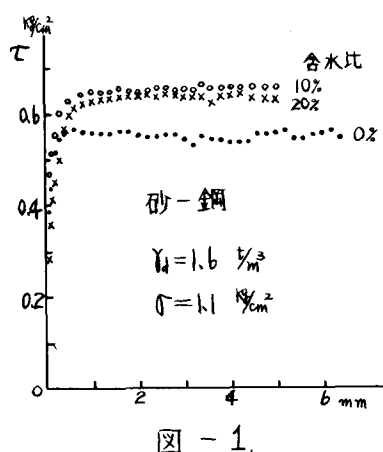


図-1.

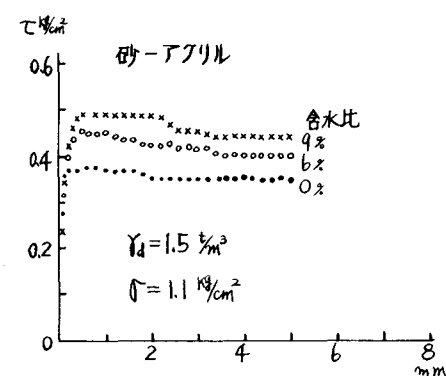


図-2.

$W=0\%$ の場合は接触面の固体間摩擦が表われ
 W キリに対して τ の比は 0.80~0.85 程度を示して
 いる。一方砂のせん断では図-3のように含水比
 の増加に伴なって抵抗の低下を示している。これ
 は図-4のサンドペーパー板についても同様にいえ
 る現象であるが、すべり面の突起(粗度)の影響が
 効果的に表われ、水は潤滑の役目をなしていない。鉱
 物の種類による相違を考える必要があるかもしれない
 が、粒状面と滑面との差が、水の作用に影響して
 いるとも考えられる。

3.2 枠檻の影響 抵抗～変位曲線は図-6
 のようになり、砂のせん断抵抗より壁面抵抗の方が
 小さな変位で最大値に達し、その際の体積変化は滑
 らかな板ほど小さな変化しか生じない。砂がせん断
 される場合、粒子の離開、配向の変化をおこしながら
 塑性状態に至るといえる。サンドペーパーのよう
 に粗い面に沿ってすべらうとする場合は、すべり面
 の片側は粒子の動きが拘束されているため粒子の動き
 は砂の側のみへ強制される。したがって変形に対
 する抵抗は両側で互に動けうような砂にくらべて大
 きくなり、すべり面は壁面に沿った砂中に生ずるも
 のといえる。

鋼、アクリル板のように滑らかな面に対しては、
 初期の段階で砂の骨格構造に微小ヒズミを生じて
 あら抵抗を示すが、砂中に塑性的ヒズミ
 を生ずるまでに至ることなく壁面に沿
 たすべりを生ずる。図-6をみると、最
 大抵抗を示す変位は砂:約2mm、鋼、ア
 クリル板:約0.5mm と示し、後者の変位
 は砂自体はいまだ中間状態にあること
 がわかる。体積変化の比較や図-5の性
 質からも、それは明らかである。すなわ
 ち滑らかな場合は壁面が土壤中の一つの
 弱面となって壁面すべりを起すといえる。

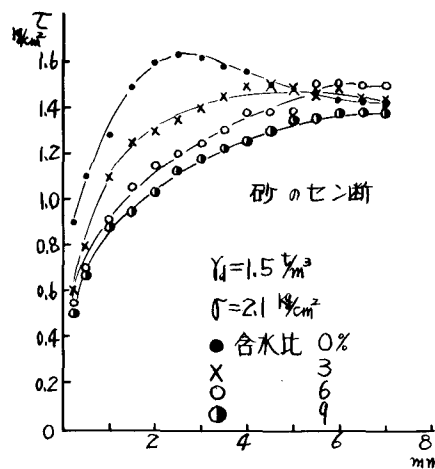


図-3.

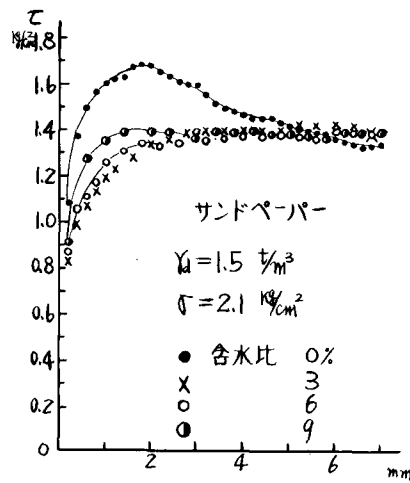


図-4.

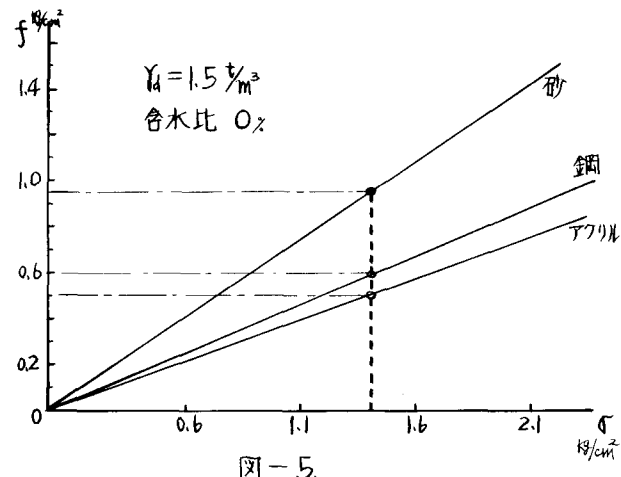


図-5.

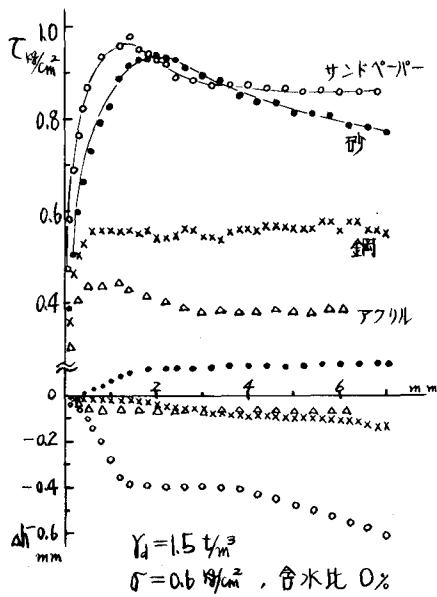


図-6

図-7は砂の $\tan \phi$ に対して各材の摩擦係数を比較したものであるが、サンドペーパーでは砂が塑性平衡状態に至ったことを示し、鋼材では砂の半分程度しか示さない。

3.3 速度の影響 図-8～9に試験例を示す。砂のせん断においては乾燥の場合と $W > 0$ の場合ごとに曲線形に差がある。 $W = 0$ では速度の速い方が変形抵抗が小さく、最大に至るまでの変位も大きいが、 $W > 0$ では速度の影響はほとんど生じない。(図-8)。その終局値は含水比、速度にかかわらず一定値を示す。瞬間に 8 mm 程度の水平変位を与える場合の強さは、ほぼ終局値に並ぶ値となる。

滑らかな板の例では、低含水比のときは速度の速いほど大きな抵抗を示すが、高含水比になるとしたがって差は少くなり、ある程度以上の含水比では逆転することが推測される。例えれば $\gamma_d = 1.5 \text{ t/m}^3$ の場合、アクリル板においては $W \approx 4\%$ 、鋼板では $W \approx 10\%$ 程度がその限界含水比とみられる(図-10)。

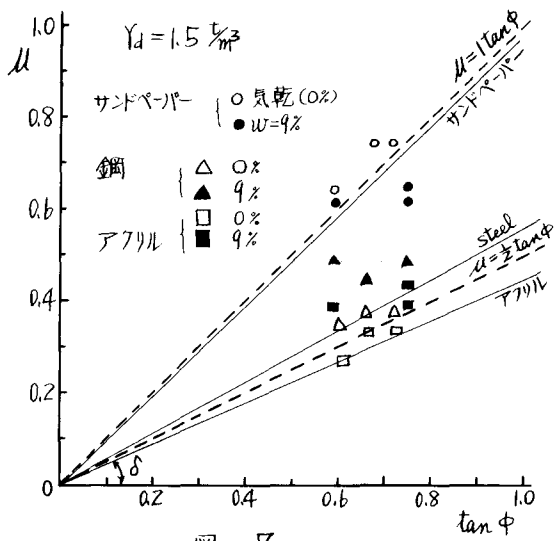


図-7

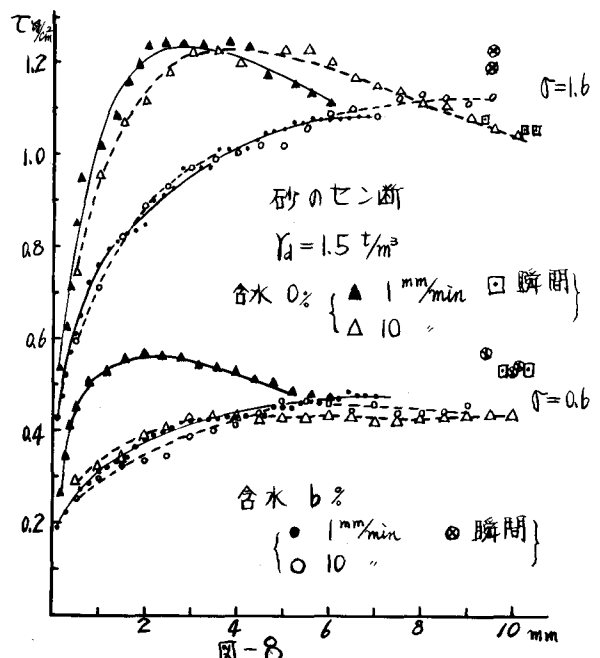


図-8.

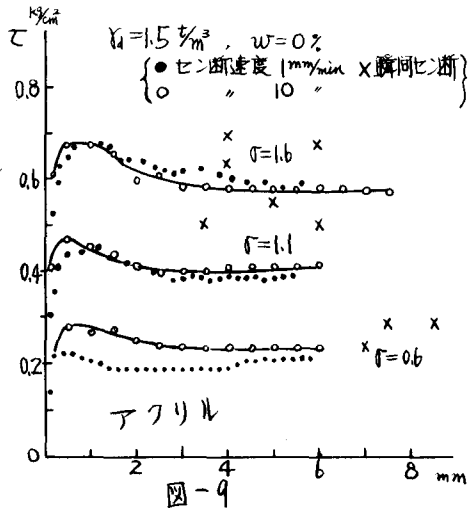


図-9

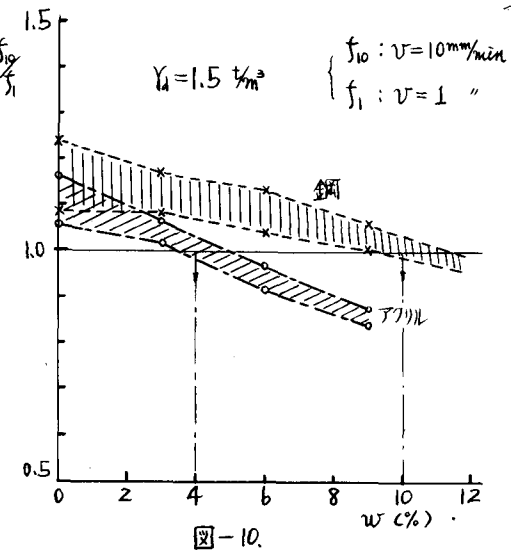


図-10.

4. あとがき

壁面摩擦特性に影響ある因子について実験検討したのだが、壁材と含水比の影響はかなり大きいことが理解される。速度についてはまだ不十分なところがあると思われるが、今後はさらに含水比粒径等の試験条件を拡大して、セン断機構、摩擦機構等についての考察が必要と思われる。
終りに本実験に当り御助かりいただいた井上氏（現、五洋建設）に対し、謝意を表したいと思います。

5. 参考文献

- 1.) Polygondy 「Skin friction between various soils and construction materials」 Geotechnique vol. 6, 1961.
- 2.) Coyle 「Skin friction for steel piles in sand」 ASCE, Vol. 93, NO. SM 6, Nov. 1967.
- 3.) G.P. Tschobanoff 「チエボタリオフの土質工学」 上巻
- 4.) 石堂、室蘭、桑原、小山田「杭の摩擦抵抗に及ぼすせん断速度の影響」昭和45年度土木学会西部支部研究発表会
- 5.) 行堂、閑、井上「砂と壁面間の摩擦特性」昭和46年度土木学会西部支部研究発表会